



## طراحی ربات راهروند هگزپاد بر مبنای ماکزیمم فضای کاری

حمید رستگار<sup>1</sup>، محمد مهدی عاقلی حاجی آبادی<sup>2\*</sup>

1- دانشجوی کارشناسی ارشد، مهندسی مکانیک، دانشگاه تربیت مدرس، تهران

2- استادیار، مهندسی مکانیک، دانشگاه تربیت مدرس، تهران

\*تهران، صندوق پستی 14115-143، agheli@modares.ac.ir

### چکیده

ربات‌های هگزپاد هم می‌توانند به منظور اهداف راهروندگی و هم به منظور اهداف مانیپولاسیون مورد استفاده قرار بگیرند. این ربات‌ها هنگام مانیپولاسیون دارای شش درجه آزادی برای صفحه بالایی، صلیبت بالا، طرفیت تحمل نیروی بالا سرعت و دقت بالا می‌باشند. از طرفی ربات‌های هگزپاد هنگامی که در محلی به منظور اهداف مانیپولاسیون به صورت ثابت قرار می‌گیرند مشهور به داشتن فضای کاری محدودی می‌باشند. طراحی ربات هگزپاد به طوری که توان ربات‌های هگزپاد مقاین شعاعی را ماند بک مکانیزم 2-RPR-2 مدل کرده لذا از هنگام مانیپولاسیون شود. از طرفی با توجه به اینکه می‌توان ربات‌های هگزپاد مقاین شعاعی استفاده شده است، در این مقاله پس از بررسی روش‌ها و محاسبات موجود برای این مکانیزم‌ها برای طراحی ربات‌های هگزپاد مقاین شعاعی استفاده شده است. در این مقاله پس از بررسی کامل بر روی روش‌های موجود برای محاسبه و بهبود فضای کاری مکانیزم‌های 2-RPR-2 یک الگوریتم ارائه شده است که باعث دادن فضای کاری در دسترس می‌شود. مزیت این روش در این است که هنگام حداکثر کردن حجم فضای کاری نیازی به محاسبه کل حجم فضای کاری نمی‌باشد. همچنین استفاده از این الگوریتم برای طراحی ربات با فضای کاری حداکثر ضروری است. به عبارت دیگر خروجی الگوریتم بهینه‌سازی ارائه شده مجموعه‌ای از پارامترهای مورد نیاز برای طراحی ربات است که حداکثر شدن حجم فضای کاری را تضمین می‌کند.

### اطلاعات مقاله

مقاله پژوهشی کامل

دریافت: 04 اردیبهشت 1395

پذیرش: 09 مرداد 1395

ارائه در سایت: 02 مهر 1395

کلید واژگان:

فرآیند بهینه‌سازی و بدست آوردن پارامترهای طراحی صورت می‌پذیرد.

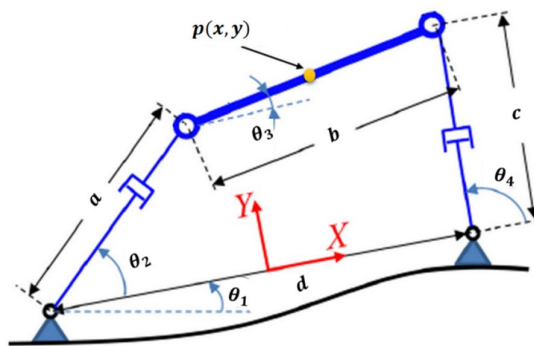
2- مدل ربات

فضای کاری در مکانیزم‌های صفحه‌ای موادی با توجه به ثابت یا متحرک بودن صفحه بالایی<sup>4</sup> می‌تواند به انواع گوناگون تقسیم‌بندی شود [14]. در یک دسته‌بندی کلی، فضای کاری می‌تواند به دو گروه مجزا تقسیم‌بندی شود:  
 فضای کاری با صفحه بالایی ثابت و فضای کاری با صفحه بالایی متحرک.  
 فضای کاری با صفحه بالایی ثابت به ناحیه‌ای از فضا اطلاق می‌شود که به پرسیله یک نقطه ثابت روی مرکز صفحه بالایی ( $p$ ) قابل دستیابی است در حالی که جهت صفحه بالایی ثابت است. فضای کاری با صفحه بالایی متحرک به ناحیه‌ای اطلاق می‌شود که توسط نقطه  $p$  و با هر جهتی برای صفحه بالایی قابل دستیابی است. یک مکانیزم موادی صفحه‌ای معمول در شکل 1  
 نشان داده شده است.

3-فضای کاری ربات

شکل فضای کاری در دسترس یک مکانیزم RPR-2 بستگی به ضریب  $\alpha$  در رابطه ۱ دارد.

$$\alpha = \frac{2 \times l_{\min}}{d - b} \quad (1)$$



**Fig. 1** 2-RPR planar parallel mechanism. A radially symmetric hexapod walking robot consists of three such mechanisms.

**شکل 1** مکانیزم 2-RPR-2 صفحه‌ای مواري. ربات هگزاپاد را درونه متقارن شعاعي تشکيل مي‌کند و مکانیزم فهمه را داشت.

درجه آزادی پرداختند [2,1]، اما الگوریتم ارائه شده توسط آن‌ها بر مبنای راه حل عددی بوده و یا از شاخص‌های خاصی برای ارزیابی طراحی مانیپولاتر استفاده کرده‌است. فضای کاری ربات دلتا با سه درجه آزادی نیز توسط تعدادی از محققان مورد بررسی قرار گرفت [5-3]. در مطالعات آن‌ها فضای کاری به صورت اشتراکی از هندسه‌های ابتدایی در نظر گرفته شده است که به پارامترهای طراحی ربات بستگی دارد. همچنین هندسه‌های ابتدایی در نرم‌افزارهای مدلسازی سه‌بعدی مورد بررسی قرار گرفته و الگوریتمی برای محاسبه سریعتر فضای کاری ارائه شد. رستگار و همکاران برای بدست آوردن فضای کاری از روش مونت کارلو استفاده کردند [6]. روش ذکر شده بر مبنای محاسبات عددی استوار است. آلستیر و همکاران نیز در آمریکا به محاسبه فضای کاری با استفاده از روش مونت کارلو و همچنین استفاده از ماتریس زاکوبین و بررسی نقاط تکینگی در فضای کاری پرداختند [7]. گاسلین در سال 1990 الگوریتمی برای تعیین فضای کاری مانیپولاتر موازی در جهت ثابت برای صفحه‌ی بالایی که دارای 6 درجه آزادی می‌باشد، ارائه کرد [8]. این الگوریتم که براساس خواص هندسی فضای کاری می‌باشد، تعمیل دارد تا فضای کاری که مانیپولاتر توانایی رسیدن به آن را دارد به صورت گرافیک ساده‌ای بیان کند. دو نوع دیگر از مکانیزم‌های موازی از قبیل PRRR-3 و مانیپولاتر موازی 3 درجه آزادی به ترتیب توسط گالانت و همکاران در کانادا [9] و وانگ و همکاران در چین [10] مورد بررسی قرار گرفت، اما روش‌های ارائه شده توسط آن‌ها مختص نوع خاصی از فضای کاری می‌باشد و غیرقابل بسط برای محاسبه کلیه فضاهای کاری است. وانگ و همکاران در سال 2014 در مطالعه بهینه‌سازی سینماتیکی مانیپولاترهای موازی با فضای کاری مطلوب به مطالعه پرداختند [11]. شاخص‌های مهم در نظر گرفته شده در فرآیند بهینه‌سازی ارائه شده توسط آن‌ها عملکرد سینماتیکی مناسب و اندازه فیزیکی نسبتاً کوچک می‌باشد که استفاده از الگوریتم را منحصر به داشتن شاخص‌های فوق می‌کند. عاقلی در سال 2014 یک راه حل بسته برای بسط آوردن فضای کاری یک مکانیزم موازی RPR-2 را ارائه کرد [12]. فضای کاری محاسبه شده توسط الگوریتم ارائه شده توسط وی از نوع مکانیزم با صفحه فوقانی ثابت<sup>2</sup> می‌باشد. عاقلی در سال 2014 نیز از همان راه حل بسته برای بسط آوردن فضای کاری در دسترس<sup>3</sup> یک مکانیزم موازی 2-RPR استفاده کرد [13]. راه حل ارائه شده توسط وی در ارای این مزیت است که برای محاسبه فضای کاری نیازی به محاسبه تک تک نقاط موجود در فضای کاری نمی‌باشد و تنها با محاسبه نقاط و منحنی‌های مرزی و با انجام محاسباتی کمتر می‌توان فضای کاری را برای مکانیزم مورد نظر محاسبه کرد. اگرچه مطالعات زیادی در زمینه محاسبه و بهینه‌سازی مکانیزم‌های موادی صورت گرفته است، اما گزارشی راجع به استفاده تلفیقی از راه حل مکانیزم و بهینه برای یک مکانیزم 2-RPR و در نهایت یک ربات هگزاپاد متقابل که متشکل از سه مکانیزم RPR-2 می‌باشد، صورت نگرفته است. استفاده از این روش نسبت به روش‌های پیچیده‌ی عددی و زمان بر باعث کاهش زمان انجام محاسبات و افزایش دقت نتایج حاصله خواهد شد. همچنین مشخصه بارز دیگر این روش این است که طراحی مکانیزم و بسط آوردن پارامترهای طراحی به نحوی صورت می‌گیرد که فضای کاری مکانیزم حاصل شود. این در حالیست که در طبقه این آنند تباخته، به محاسبه تمام

---

4 Platform

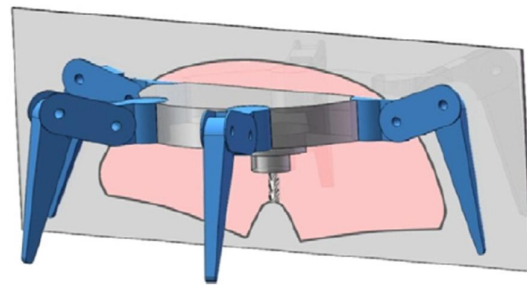
<sup>5</sup> Orientation workspace

### <sup>6</sup> Prismatic links

برای ضریب  $\alpha$  حاصل گردد.

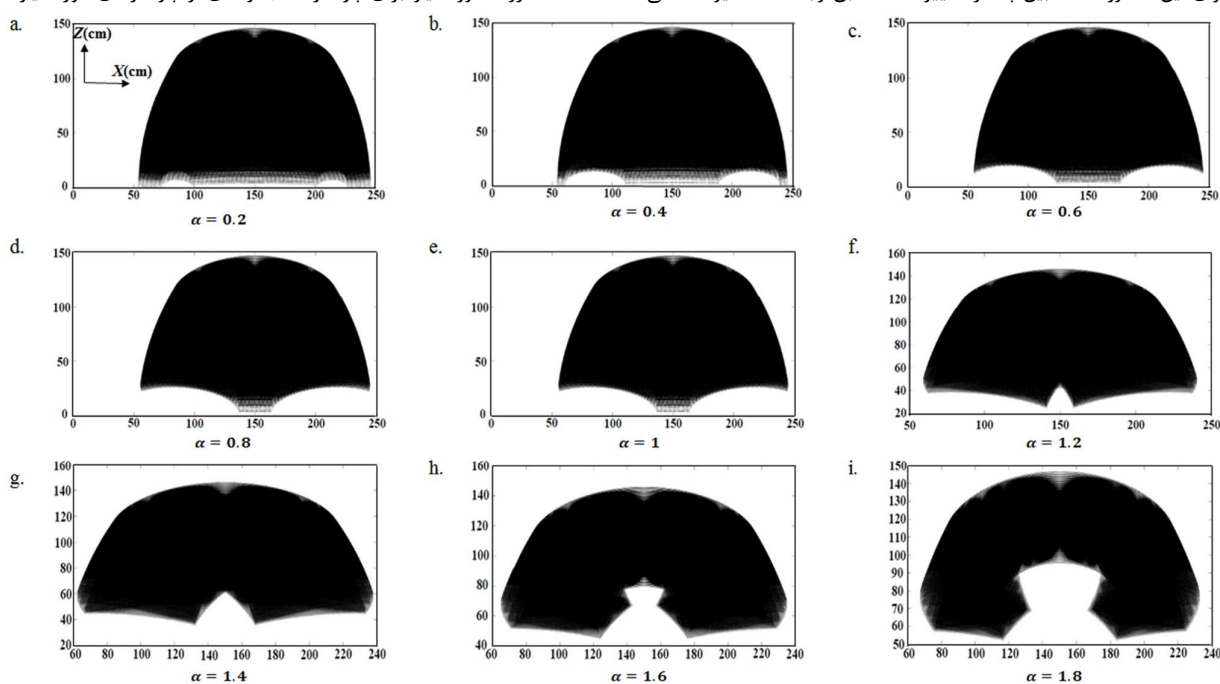
#### 4- طراحی بهینه

برای بهینه سازی یعنی استخراج پارامترهای طراحی ربات که منجر به ماکزیمم فضای کاری می شود لازم است تا یک الگوریتم مناسب ایجاد شده و نتایج روابط و معادلات مربوط به بهینه سازی در داخل آن قرار گیرد و جواب مطلوب را ارائه دهد.



شکل 2 ربات هگزاباد راه رونده متقارن شعاعی به همراه فضای کاری دو بعدی [13].

- 1-4 الگوریتم ارائه شده در مقاله به ترتیب مراحل زیر ایجاد شده است:
  - 1- تعریف پارامترهای سینماتیکی و محدوده مجاز آنها. منظور از پارامترهای سینماتیکی همان طول های ( $a$ ,  $h_1$ ,  $h$ ,  $d$ ,  $c$ ,  $b$ ) می باشد که تعیین محدوده این پارامترها به طور مستقیم بستگی به کاربرد مورد انتظار از ماکانیزم دارد.
  - 2- استخراج معادلات مختصات نقاط موجود بر روی فضای کاری (ین نقاط در شکل 4 با  $p_1$ ,  $p_2$ , ... مشخص شده اند).
  - 3- بدست آوردن فاصله این نقاط از یک مرز مطلوب تعریف شده. این مرزها با توجه به ابعاد ماکانیزم و به گونه ای تعریف می شوند که بزرگتر از مرز فضای کاری حقیقی ماکانیزم باشند تا فرآیند حداکثر کردن سطح فضای کاری به درستی صورت پذیرد. مرزهای ذکر شده در شکل 4 و با حروف W و L نشان داده شده است.
  - 4- پس از بدست آوردن این فواصل تابع هدف محاسبه می شود. تابع هدف موردنظر از روش حداقل مربعات استخراج می شود که در رابطه 21 آورده شده است.
  - 5- در مرحله آخر تابع هدف موردنظر در داخل یک حلقه تکرار قرار داده شده تا نرم افزار با در نظر گرفتن کلیه بازه های تعريف شده و شروط موردنیاز برای پارامترها مجموعه ای از پارامترهای موردنیاز



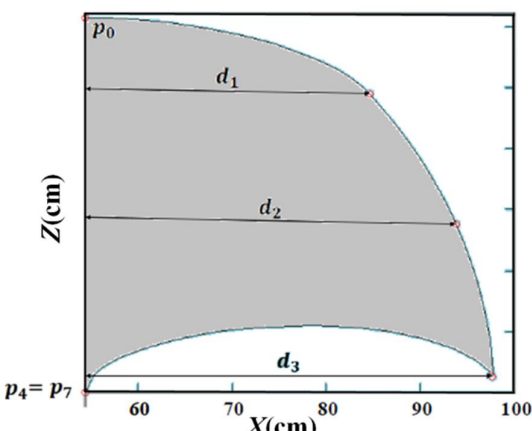
شکل 3 شکلهای گوناگون فضای کاری در دسترس برای ماکانیزم موازی 2-RPR

شکل 3 شکلهای گوناگون فضای کاری در دسترس برای ماکانیزم موازی 2-RPR

برای مقایسه کمی بین الگوریتم ارائه شده در مقاله و الگوریتمی که در [13] ارائه شده است، فواصل افقی بین نقاط مرزی فضای کاری و خط تقارن همانند شکل 6 مورد استفاده قرار گرفت. نتایج مقایسه در جدول 1 ارائه شده است. همانطور که مشاهده می‌شود الگوریتم ارائه شده در این مقاله الگوریتم ارائه شده در کار قبلی را بهبود بخشیده است.

**4-3- پیاده‌سازی الگوریتم و نتایج**  
پس از صحبت‌سنجی الگوریتم و اطمینان از خروجی آن می‌توان از آن برای بهینه‌سازی فضای کاری در دسترس مکانیزم استفاده کرد. برای این منظور پارامترهای مجھول باید به نحوی محاسبه شوند که سطح فضای کاری در دسترس و در نهایت حجم فضای کاری ماکریتم شود. عبارتی دیگر الگوریتم ارائه شده در بخش 4-1 باید پیاده شود. فضای کاری در دسترس یک مکانیزم موازی 2-RPR که قرار است سطح آن ماکریتم شود در شکل 7 نشان داده شده است.

در شکل 7 انتخاب ابعاد  $w$  و  $l$  بر عهده طراح بوده و به کاربرد مورد انتظار از ربات بستگی دارد. در این مقاله مقدار  $130\text{ cm}$  و  $250\text{ cm}$  به ترتیب برای  $w$  و  $l$  انتخاب شده است. نقطه  $p_6$  نیز برای محاسبات در نظر گرفته شده است که با توجه به کمبود جا در شکل  $d_{6x}$  و  $d_{6y}$  رسماً نشده‌اند. برای بدست آوردن تابع هدف که در حقیقت تعیین کننده ماکریتم شوندگی سطح فضای کاری می‌باشد، روش‌های گوناگونی از قبیل انتخاب تابع هدف بر مبنای کشیده شدن در راستای  $x$  انتخاب تابع هدف بر مبنای کشیده شدن در راستای  $y$ ، انتخاب تابع هدف بر مبنای کشیده شدن در راستای قطر و ... مورد استفاده قرار گرفت و بهترین جوابها در حالت حاصل گردید که کشیدگی سطح در هر دو راستا به صورت جداگانه برای ایجاد تابع هدف مورد استفاده قرار گیرد. با استفاده از روابط تحلیلی برای نقاط  $p_1$ ,  $p_2$ ,  $p_3$ ,  $p_4$ ,  $p_5$ ,  $p_6$  و  $p_7$ .



شکل 6 نقاط و فواصل استفاده شده برای مقایسه عددی

جدول 1 مقداری عددی برای دو الگوریتم

Table 1 Numerical data for both algorithms

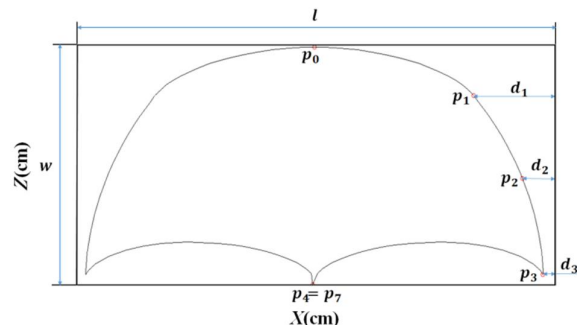
$p_{4y} = p_{7y}$	$p_{0y}$	$d_3$	$d_2$	$d_1$	الگوریتم جدید
0	61.52	43.3	43.34	30.286	الگوریتم قدیم
0	59.65	39.48	40	27.47	الگوریتم جدید

برای طراحی ربات را طوری انتخاب کند که در آن تابع هدف حداقل مقدار باشد. با توجه به تابع هدف، این حداقل شدن منجر به ماتریتم فضای کاری می‌شود. لازم به ذکر است که شروط در صورت نیاز تعریف می‌شوند. به عنوان مثال در ابتدا و هنگام حل مثال تعریف شده در [13] که در شکل 4 نشان داده شده است، یکی از شروطی که باید تعریف شود مربوط به شکل فضای کاری است. بدین ترتیب الگوریتم آن مجموعه‌ای از پارامترها را انتخاب می‌کند که هم تابع هدف در آن حداقل مقدار ممکن باشد و هم شروط مورد نظر برقرار باشد.

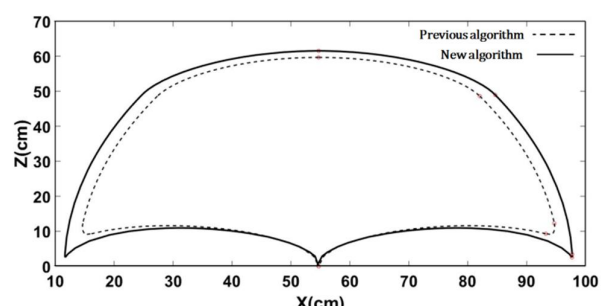
#### 4-2- صحبت‌سنجی الگوریتم

برای بررسی صحبت‌سنجی الگوریتم ارائه شده، از مثال حل شده در پژوهش قبلی [13] که هدف آن عرض کردن نوع خاصی از فضای کاری می‌باشد، استفاده شد. برای این منظور و با توجه به اینکه خروجی الگوریتم ارائه شده در این مقاله منجر به ماتریتم سطح فضای کاری می‌شود می‌باشد. الگوریتم ارائه شده در بخش 4-1 جهت تطبیق با مثال ارائه شده در کار قبلی طوری تنظیم شود که عرض ترین فضای کاری را به جاری ماتریتم سطح فضای کاری ارائه دهد. هدف از این کار مقایسه خروجی الگوریتم ارائه شده با نتایج قبلی بود. در نهایت فضای کاری نهایی مانند آن جهت در شکل 4 نشان داده شده است، بدست آمد. در این مثال هدف از طراحی بهینه بدست آوردن مجموعه‌ای از پارامترهای سینماتیکی مجھول شامل  $l_1$ ,  $l_{max}$ ,  $l_2$ ,  $l_3$  و  $d_{min}$  به طوری که با مینیمم کردن فواصل  $l_1$ ,  $l_2$ ,  $l_3$  و  $d$  عرض ترین فضای کاری بدست آید.

شکل 5 مقایسه خروجی روش قبلی و فعلی را به تصویر کشیده است.



شکل 4 فضای کاری مکانیزم موازی 2-RPR محصور شده در داخل ناحیه مستطیلی مطلوب



شکل 5 مقایسه بین الگوریتم پیشین و الگوریتم جدید

می‌باشند که در شکل 7 نشان داده شده‌اند. تابع هدف برای بهینه‌سازی فضای کاری در دسترس به صورت زیر محاسبه می‌شود که در نهایت تابع هدف نهایی در رابطه (21) نشان داده شده است.

$$W1 = d_{1x}^2 + d_{2x}^2 + d_{3x}^2 + d_{4x}^2 + d_{5x}^2 + d_{6x}^2 \quad (14)$$

$$W2 = d_{1y}^2 + d_{2y}^2 + d_{3y}^2 + d_{4y}^2 + d_{5y}^2 + d_{6y}^2 \quad (15)$$

$$W = W1 + W2 \quad (16)$$

$$e_1 = \frac{\partial W}{\partial l_{\min}} \quad (17)$$

$$e_2 = \frac{\partial W}{\partial l_{\max}} \quad (18)$$

$$e_3 = \frac{\partial W}{\partial d} \quad (19)$$

$$e_4 = \frac{\partial W}{\partial b} \quad (20)$$

$$e = \sqrt{e_1^2 + e_2^2 + e_3^2 + e_4^2} \quad (21)$$

همانطور که پیش‌تر اشاره شد با توجه به کاربرد مورد انتظار از مکانیزم ریات محدوده‌هایی برای اندازه پارامترها در نظر گرفته شود که این محدوده‌ها در کار ارائه شده در این مقاله برابر هستند با:  $100.0 \text{ cm} < d < 130.0 \text{ cm}$ ,  $60.0 \text{ cm} < l_{\min} < 100.0 \text{ cm}$ ,  $130.0 \text{ cm} < h_1 < 150.0 \text{ cm}$  و  $0.0 \text{ cm} < h < 56.0 \text{ cm}$ . لازم که براساس محدودیت‌های فوق تعیین می‌شوند در روابط (22) و (23) آورده شده است.

$$l_{\max} = \frac{d - b}{2 \times \cos(\theta_1)} \quad (22)$$

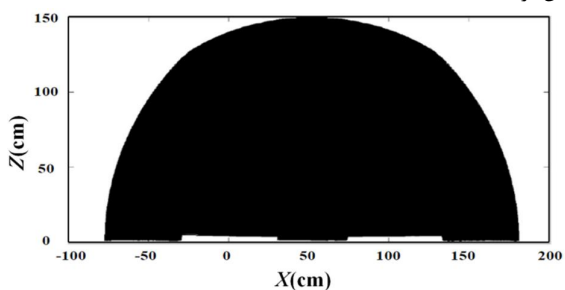
$$b = d - 2 \times l_{\min} \times \cos(\theta_2) \quad (23)$$

$$\theta_1 = \tan^{-1}\left(\frac{2 \times h}{d - b}\right) \quad \text{که در آن}$$

$$\theta_2 = \sin^{-1}\left(\frac{h_1}{l_{\min}}\right) \quad \text{که در آن}$$

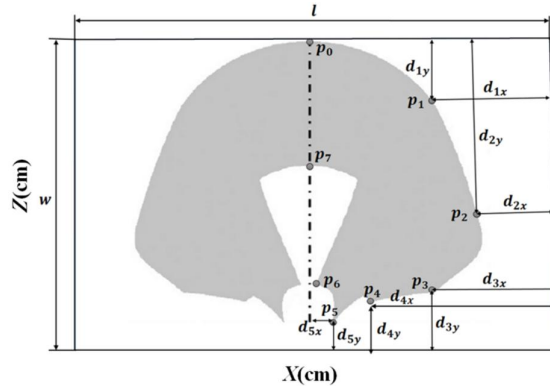
در روابط بالا  $h$  و  $h_1$  حداقل و حداکثر بازه ارتفاعی می‌باشد که ریات باید قادر به رسیدن به آن باشد. خروجی الگوریتم برابر است با  $l_{\min} = 60 \text{ cm}$ ,  $d = 104 \text{ cm}$  و  $b = 60.918682 \text{ cm}$ ,  $l_{\max} = 151.53877 \text{ cm}$ . با استفاده از ابعاد بدست آمده برای پارامترها، فضای کاری در دسترس به صورت نشان داده شده در شکل 8 بدست می‌آید. تغییرات فضای کاری در طی فرآیند بهینه‌سازی در شکل 9 نشان داده شده است که نشان از بیشتر شدن سطح فضای کاری در هر مرحله از فرآیند دارد که در نهایت منجر به حداکثر فضای کاری ممکن می‌شود.

تغییرات مساحت فضای کاری در حین فرآیند بهینه‌سازی در شکل 10 نشان داده شده است که حاکی از افزایش مساحت فضای کاری در دسترس حین فرآیند است.



شکل 8 The maximized RW

شکل 8 فضای کاری حداکثر شده



شکل 7 فضای کاری در دسترس و تنظیمات بهینه‌سازی  
روابط (2) تا (13) حاصل می‌شود که در محاسبه تابع هدف مورد استفاده قرار می‌گیرد.

$$d_{1x} = \left( \frac{d + 250}{2} \right) - \left( l_{\max} + \frac{b}{2} \right) \times \left( \frac{(l_{\max} + b)^2 + d^2 - l_{\max}^2}{2 \times (l_{\max} + b) \times d} \right) \quad (2)$$

$$d_{1y} = 130 - \left( l_{\max} + \frac{b}{2} \right) \times \sin(\cos^{-1}\left(\frac{(l_{\max} + b)^2 + d^2 - l_{\max}^2}{2 \times (l_{\max} + b) \times d}\right)) \quad (3)$$

$$d_{2x} = \left( \frac{d + 250}{2} \right) - \left( l_{\max} + \frac{b}{2} \right) \times \left( \frac{(l_{\max} + b)^2 + d^2 - l_{\min}^2}{2 \times (l_{\max} + b) \times d} \right) \quad (4)$$

$$d_{2y} = 130 - \left( l_{\max} + \frac{b}{2} \right) \times \sin(\cos^{-1}\left(\frac{(l_{\max} + b)^2 + d^2 - l_{\min}^2}{2 \times (l_{\max} + b) \times d}\right)) \quad (5)$$

$$d_{3x} = \left( \frac{d + 250}{2} \right) - (l_{\max}) + \left( \frac{(d - l_{\max})^2 + b^2 - l_{\min}^2}{4 \times (d - l_{\max})} \right) \quad (6)$$

$$d_{3y} = \left( \frac{b}{2} \right) \times \sin(\cos^{-1}\left(\frac{(d - l_{\max})^2 + b^2 - l_{\min}^2}{2 \times (d - l_{\max}) \times b}\right)) \quad (7)$$

$$d_{4x} = \left( \frac{d + 250}{2} \right) - (l_{\min}) + \left( \frac{(d - l_{\min})^2 + b^2 - l_{\min}^2}{4 \times (d - l_{\min})} \right) \quad (8)$$

$$d_{4y} = \left( \frac{b}{2} \right) \times \sin(\cos^{-1}\left(\frac{(d - l_{\min})^2 + b^2 - l_{\min}^2}{2 \times (d - l_{\min}) \times b}\right)) \quad (9)$$

$$d_{5x} = l_{\max} - \frac{d}{2} + \left( \frac{(d - l_{\max})^2 + b^2 - l_{\max}^2}{4 \times (d - l_{\max})} \right) \quad (10)$$

$$d_{5y} = \left( \frac{b}{2} \right) \times \sin(\cos^{-1}\left(\frac{(d - l_{\max})^2 + b^2 - l_{\max}^2}{2 \times (d - l_{\max}) \times b}\right)) \quad (11)$$

$$d_{6x} = l_{\min} - \frac{d}{2} + \left( \frac{(d - l_{\min})^2 + b^2 - l_{\max}^2}{4 \times (d - l_{\min})} \right) \quad (12)$$

$$d_{6y} = \left( \frac{b}{2} \right) \times \sin(\cos^{-1}\left(\frac{(d - l_{\min})^2 + b^2 - l_{\max}^2}{2 \times (d - l_{\min}) \times b}\right)) \quad (13)$$

که در روابط (2) تا (13) محاسبه شده‌اند در حقیقت فواصل نقطه موجود معلوم در روی فضای کاری از مرز مطلوب تعريف شده

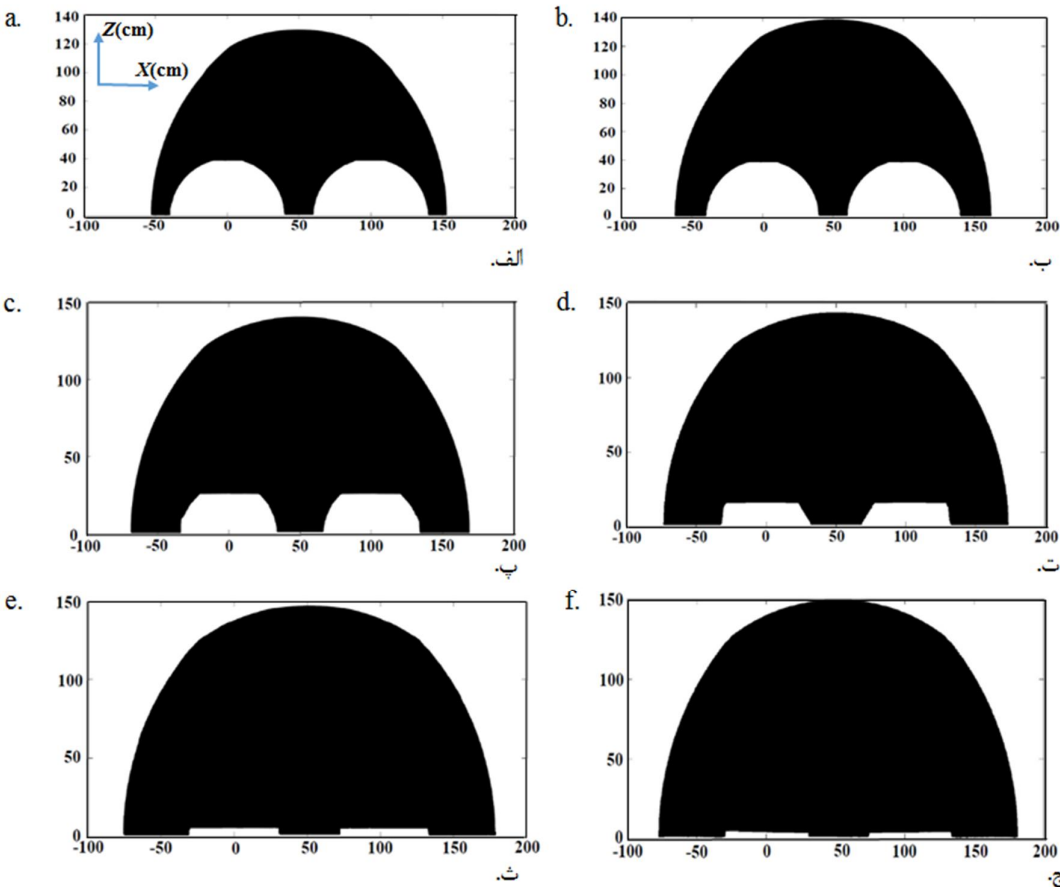


Fig. 9 Changes in the workspace during optimization

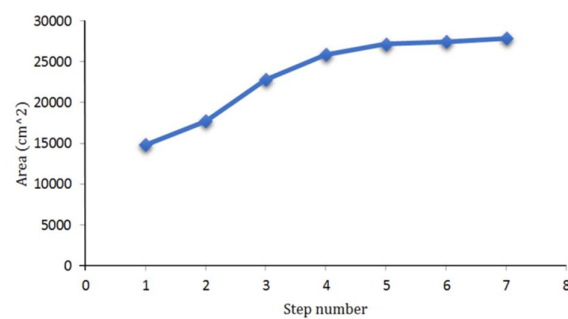
a) Workspace before optimization process b-e) Workspace during optimization process f) Workspace after optimization process

شکل ۹ تغییرات شکل فضای کاری در طول فرآیند بهینه‌سازی (الف) فضای کاری قبل از فرآیند بهینه‌سازی (ب-ث) فضای کاری حین فرآیند بهینه‌سازی (ج) فضای کاری پس از بهینه‌سازی

حداکثر شدن سطح و در نهایت حجم فضای کاری ربات هگزاباد را رونده مقارن شعاعی نیز می‌شود.

## ۶ مراجع

- [1] C. M. Gosselin, M. Jean, Determination of the workspace of planar parallel manipulators with joint limits, *Robotics and Autonomous Systems*, Vol. 17, No. 3, pp. 129-138, 1996.
- [2] C. Gosselin, J. Angeles, The optimum kinematic design of a planar three-degree-of-freedom parallel manipulator, *Journal of Mechanisms, Transmissions, and Automation in Design*, Vol. 110, No. 1, pp. 35-41, 1988.
- [3] R. Clavel, Delta, a fast robot with parallel geometry, *Proceedings of International Symposium on Industrial Robots*, pp. 91-100, 1988.
- [4] F. Sternheim, Tridimensional computer simulation of a parallel robot. Results for the " DELTA 4" machine, *18<sup>th</sup> International Symposium on Industrial Robots*, pp. 333-340, 1988.
- [5] A. Gharahsolo, A. Rahmani Hanzaki, An efficient algorithm for workspace generation of delta robot, *International Journal of Robotics*, Vol. 4, No. 2, pp. 48-53, 2015.
- [6] J. Rastegar, D. Perel, Generation of manipulator workspace boundary geometry using the Monte Carlo method and interactive computer graphics, *Journal of mechanical design*, Vol. 112, No. 3, pp. 452-454, 1990.
- [7] D. Alciatore, C. Ng, Determining manipulator workspace boundaries using the Monte Carlo method and least squares segmentation, *ASME Robotics: Kinematics, Dynamics and Controls*, Vol. 72, pp. 141-146, 1994.
- [8] C. Gosselin, Determination of the workspace of 6-DOF parallel manipulators, *Journal of mechanical design*, Vol. 112, No. 3, pp. 331-336, 1990.
- [9] A. Gallant, R. Boudreau, M. Gallant, Dexterous workspace of a 3-PRRR kinematically redundant planar parallel manipulator, *Transactions of the Canadian society for mechanical engineering*, Vol. 33, No. 4, pp. 645-654, 2009.



شکل ۱۰ تغییرات مساحت فضای کاری در حین فرآیند بهینه‌سازی

## ۵-نتیجه‌گیری

در این مقاله از یک راه حل تلفیقی تحلیلی عددی برای بهینه‌سازی سطح فضای کاری در دسترس یک مکانیزم موازی 2-RPR استفاده شد. الگوریتم ارائه شده اندازه عضوها را به نحوی محاسبه می‌کند که حداقل مساحت برای فضای کاری در دسترس مکانیزم موازی 2-RPR تشكیل شده است، ربات هگزاباد را رونده مقارن شعاعی از سه مکانیزم موازی 2-RPR تشکیل شده است، پس با ماکریم کردن سطح فضای کاری مکانیزم 2-RPR در حقیقت باعث

- workspace and workspace-based design of radially symmetric hexapod robots, *Journal of Mechanisms and Robotics*, Vol. 6, No. 3, pp. 031007, 2014.
- [13] M. Agheli, S. S. Nestinger, Comprehensive closed-form solution for the reachable workspace of 2-RPR planar parallel mechanisms, *Mechanism and Machine Theory*, Vol. 74, pp. 102-116, 2014.
- [14] J.-P. Merlet, C. M. Gosselin, N. Mouly, Workspaces of planar parallel manipulators, *Springer Vienna, ROMANSY* 11, pp. 37-44, 1997.
- [10] J. Wang, J. Wu, T. Li, X. Liu, Workspace and singularity analysis of a 3-DOF planar parallel manipulator with actuation redundancy, *Robotica*, Vol. 27, No. 01, pp. 51-57, 2009.
- [11] Z. G. Yang, M. L. Shao, D. I. Shin, Kinematic optimization of parallel manipulators with a desired workspace, *Applied Mechanics & Materials*, Vol. 752-753, pp. 973-979, 2015.
- [12] M. Agheli, S. S. Nestinger, Closed-form solution for constant-orientation